

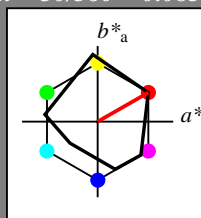
Eingabe: Farbmatisches Reflexions-System MRS18

für Bunnton $h^* = lab^*h = 30/360 = 0.083$

lab^*tch und lab^*nch

D65: Bunnton R
 LCH*Ma: 50 77 30
 rgb*Ma: 1.0 0.0 0.0

Dreiecks-Helligkeit



MRS18; adaptierte CIELAB-Daten

	$L^*=L^*_a$	a^*_a	b^*_a	$C^*_{ab,a}$	$h^*_{ab,a}$
RMa	49.63	66.96	38.37	77.18	30
JMa	90.7	-6.36	88.75	88.98	94
GMa	52.11	-69.73	9.44	70.37	172
G50B _{Ma}	45.03	-36.57	-28.47	46.36	218
B _{Ma}	36.65	23.19	-63.05	67.18	290
B50R _{Ma}	34.94	57.17	-44.26	72.31	322
N _{Ma}	18.01	0.0	0.0	0.0	0
W _{Ma}	95.41	0.0	0.0	0.0	0
RCIE	39.92	58.66	26.98	64.56	25
JCIE	81.26	-2.17	67.76	67.79	92
GCIE	52.23	-42.26	11.75	43.87	164
BCIE	30.57	1.15	-46.84	46.87	271

%Regularität

$g^*_{H,rel} = 41$

$g^*_{C,rel} = 52$

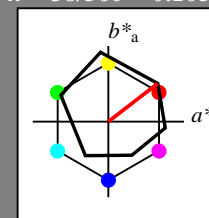
Ausgabe: Farbmatisches Reflexions-System ORS18

für Bunnton $h^* = lab^*h = 38/360 = 0.105$

lab^*tch und lab^*nch

D65: Bunnton O
 LCH*Ma: 48 83 38
 rgb*Ma: 1.0 0.0 0.0

Dreiecks-Helligkeit



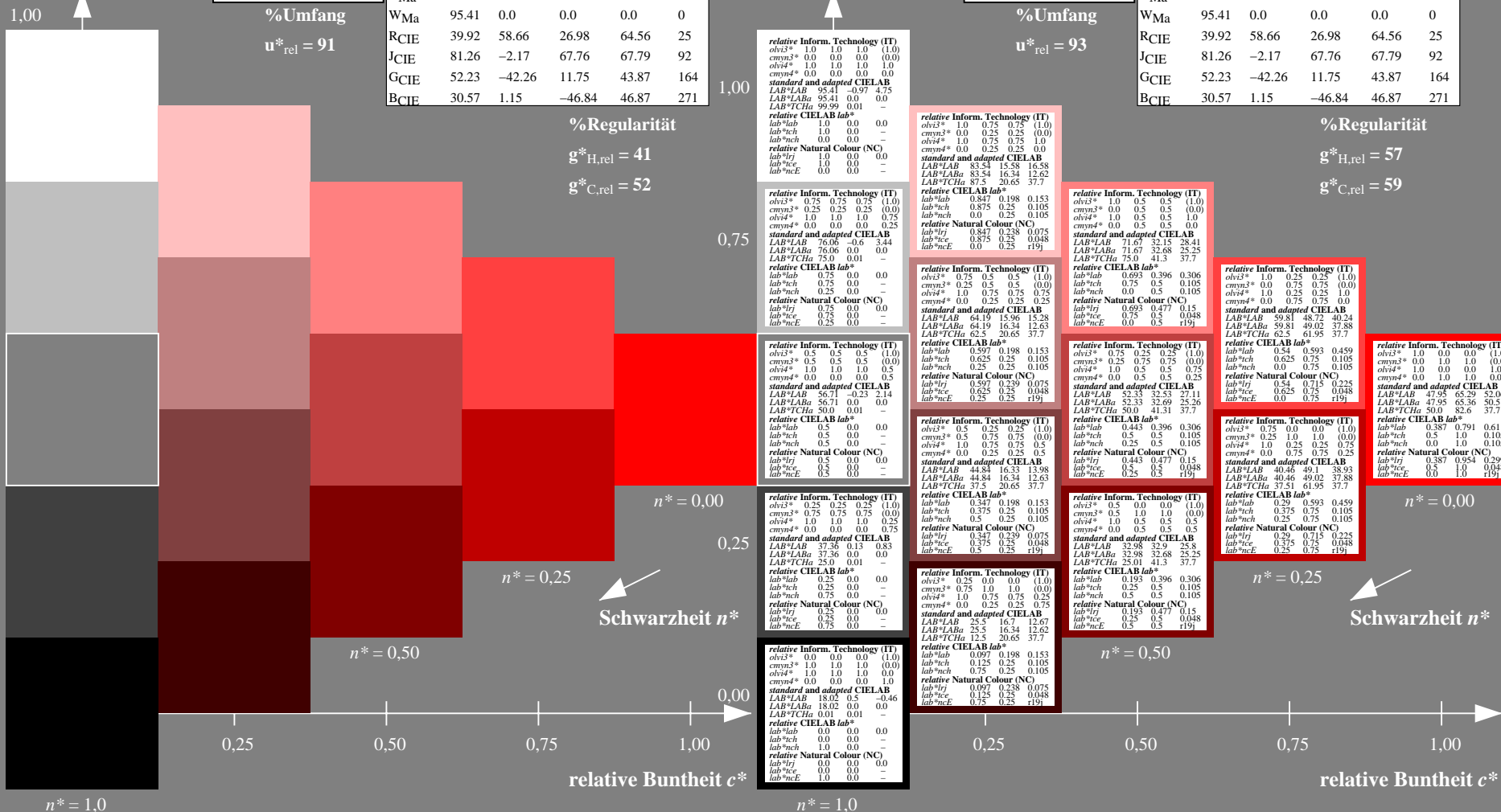
ORS18; adaptierte CIELAB-Daten

	$L^*=L^*_a$	a^*_a	b^*_a	$C^*_{ab,a}$	$h^*_{ab,a}$
OMa	47.94	65.37	50.52	82.62	38
YMa	90.37	-10.27	91.77	92.34	96
LMa	50.9	-62.79	34.95	71.87	151
CMa	58.62	-30.35	-45.01	54.3	236
V _{Ma}	25.71	31.11	-44.42	54.24	305
M _{Ma}	48.13	75.27	-8.35	75.73	354
N _{Ma}	18.01	0.0	0.0	0.0	0
W _{Ma}	95.41	0.0	0.0	0.0	0
RCIE	39.92	58.66	26.98	64.56	25
JCIE	81.26	-2.17	67.76	67.79	92
GCIE	52.23	-42.26	11.75	43.87	164
BCIE	30.57	1.15	-46.84	46.87	271

%Regularität

$g^*_{H,rel} = 57$

$g^*_{C,rel} = 59$



TG45-7, 5stufige Reihen für konstanten CIELAB Bunnton 30/360 = 0.083 (links)

5 stufige Reihen für konstanten CIELAB Bunnton 38/360 = 0.105 (rechts)

BAM-Prüfvorlage TG45; Farbmatrik-Systeme ORS18 & ORS18 input: $olv^* setrgbcolor$

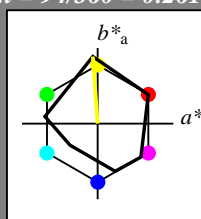
D65: 5stufige Farbreihen und Koordinaten-Daten für 10 Bunntöneoutput: *Startup (S) data dependend*

Eingabe: Farbmetrisches Reflexions-System MRS18

für Buntton $h^* = lab^*h = 94/360 = 0.261$
 lab^*tch und lab^*nch

D65: Buntton J
 LCH*Ma: 91 89 94
 rgb*Ma: 1.0 1.0 0.0

Dreiecks-Helligkeit



MRS18; adaptierte CIELAB-Daten

	$L^*=L^*_a$	a^*_a	b^*_a	$C^*_{ab,a}$	$h^*_{ab,a}$
RMa	49.63	66.96	38.37	77.18	30
JMa	90.7	-6.36	88.75	88.98	94
GMa	52.11	-69.73	9.44	70.37	172
G50B _{Ma}	45.03	-36.57	-28.47	46.36	218
B _{Ma}	36.65	23.19	-63.05	67.18	290
B50R _{Ma}	34.94	57.17	-44.26	72.31	322
N _{Ma}	18.01	0.0	0.0	0.0	0
W _{Ma}	95.41	0.0	0.0	0.0	0
RCIE	39.92	58.66	26.98	64.56	25
JCIE	81.26	-2.17	67.76	67.79	92
GCIE	52.23	-42.26	11.75	43.87	164
BCIE	30.57	1.15	-46.84	46.87	271

%Regularität

$g^*_{H,rel} = 41$

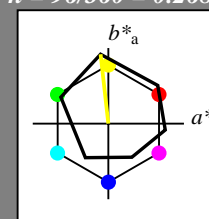
$g^*_{C,rel} = 52$

Ausgabe: Farbmetrisches Reflexions-System ORS18

für Buntton $h^* = lab^*h = 96/360 = 0.268$
 lab^*tch und lab^*nch

D65: Buntton Y
 LCH*Ma: 90 92 96
 rgb*Ma: 1.0 1.0 0.0

Dreiecks-Helligkeit



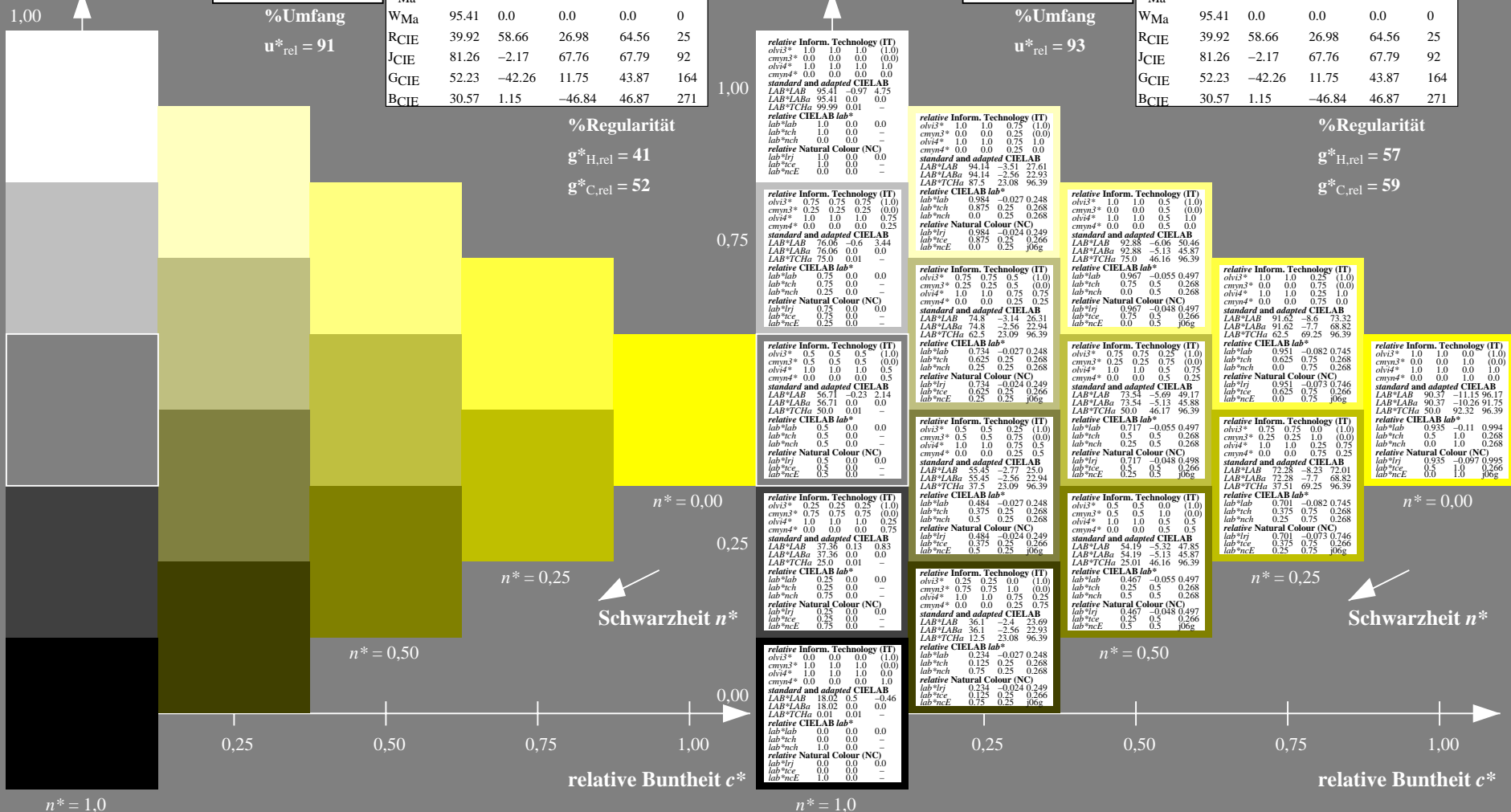
ORS18; adaptierte CIELAB-Daten

	$L^*=L^*_a$	a^*_a	b^*_a	$C^*_{ab,a}$	$h^*_{ab,a}$
OMa	47.94	65.37	50.52	82.62	36
YMa	90.37	-10.27	91.77	92.34	98
LMa	50.9	-62.79	34.95	71.87	151
CMa	58.62	-30.35	-45.01	54.3	236
V _{Ma}	25.71	31.11	-44.42	54.24	305
M _{Ma}	48.13	75.27	-8.35	75.73	354
N _{Ma}	18.01	0.0	0.0	0.0	0
W _{Ma}	95.41	0.0	0.0	0.0	0
RCIE	39.92	58.66	26.98	64.56	25
JCIE	81.26	-2.17	67.76	67.79	92
GCIE	52.23	-42.26	11.75	43.87	164
BCIE	30.57	1.15	-46.84	46.87	271

%Regularität

$g^*_{H,rel} = 57$

$g^*_{C,rel} = 59$



TG45-7, 5stufige Reihen für konstanten CIELAB Buntton 94/360 = 0.261 (links)

5 stufige Reihen für konstanten CIELAB Buntton 96/360 = 0.268 (rechts)

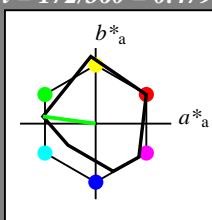
BAM-Prüfvorlage TG45; Farbmetrik-Systeme ORS18 & ORS18 input: $olv^* setrgbcolor$
 D65: 5stufige Farbreihen und Koordinaten-Daten für 10 Bunttöneoutput: *Startup (S) data dependend*

Eingabe: Farbmetrisches Reflexions-System MRS18

für Buntton $h^* = lab^*h = 172/360 = 0.479$
 lab^*tch und lab^*nch

D65: Buntton G
 LCH*Ma: 52 70 172
 rgb*Ma: 0.0 1.0 0.0

Dreiecks-Helligkeit



MRS18; adaptierte CIELAB-Daten

	$L^*=L^*_a$	a^*_a	b^*_a	$C^*_{ab,a}$	$h^*_{ab,a}$
RMa	49.63	66.96	38.37	77.18	30
JMa	90.7	-6.36	88.75	88.98	94
GMa	52.11	-69.73	9.44	70.37	172
G50B _{Ma}	45.03	-36.57	-28.47	46.36	218
B _{Ma}	36.65	23.19	-63.05	67.18	290
B50R _{Ma}	34.94	57.17	-44.26	72.31	322
N _{Ma}	18.01	0.0	0.0	0.0	0
W _{Ma}	95.41	0.0	0.0	0.0	0
RCIE	39.92	58.66	26.98	64.56	25
JCIE	81.26	-2.17	67.76	67.79	92
GCIE	52.23	-42.26	11.75	43.87	164
BCIE	30.57	1.15	-46.84	46.87	271

%Regularität

$g^*_{H,rel} = 41$

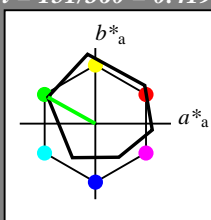
$g^*_{C,rel} = 52$

Ausgabe: Farbmetrisches Reflexions-System ORS18

für Buntton $h^* = lab^*h = 151/360 = 0.419$
 lab^*tch und lab^*nch

D65: Buntton L
 LCH*Ma: 51 72 151
 rgb*Ma: 0.0 1.0 0.0

Dreiecks-Helligkeit



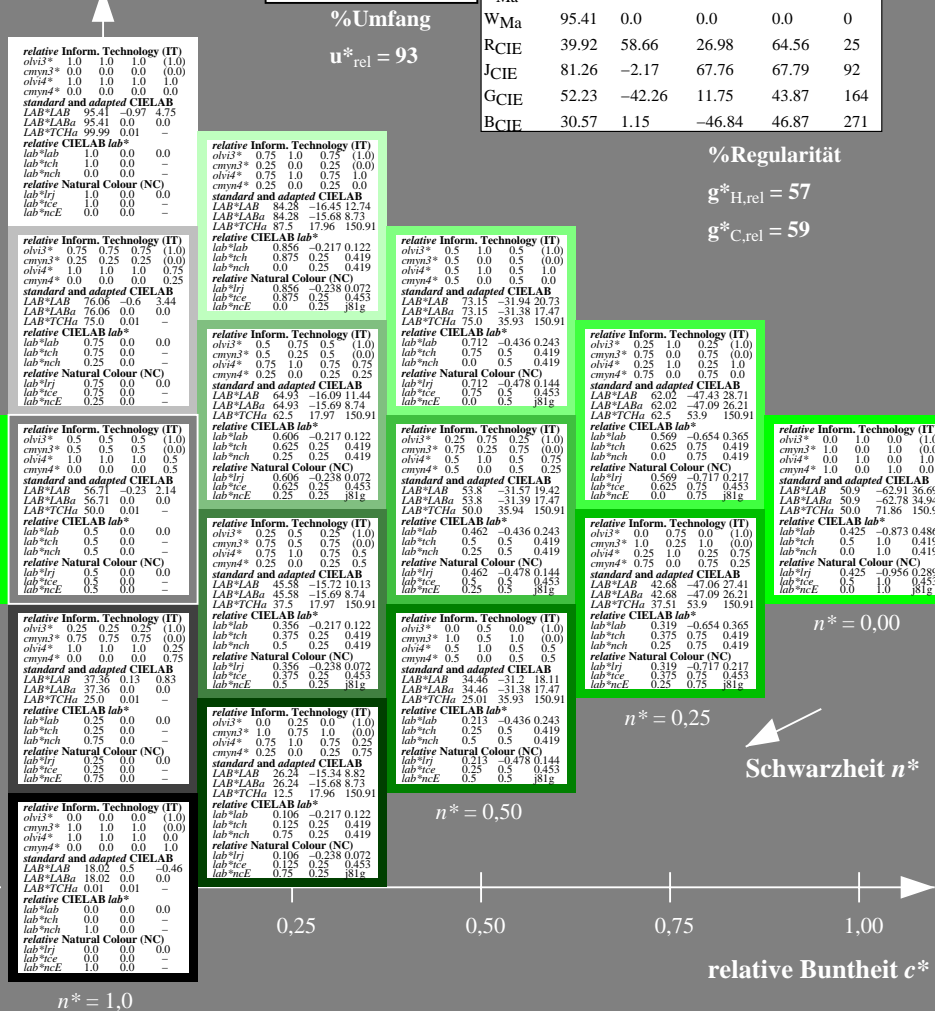
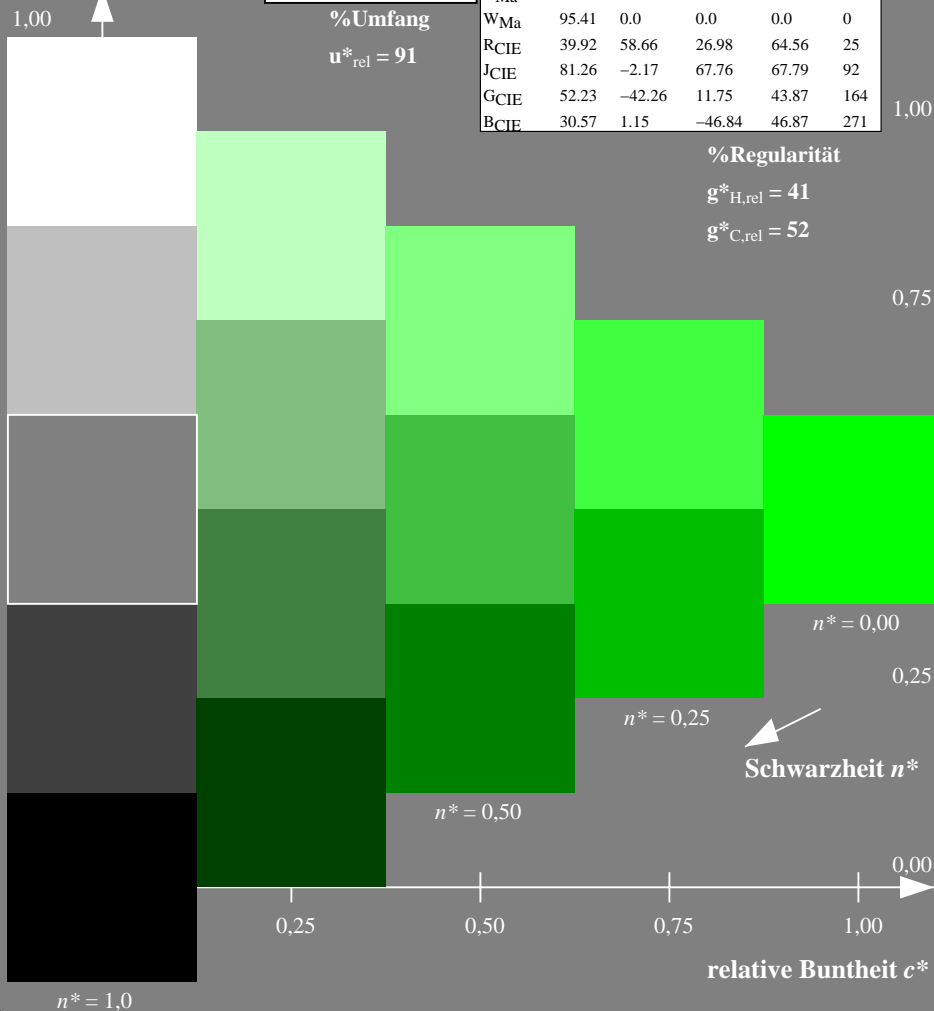
ORS18; adaptierte CIELAB-Daten

	$L^*=L^*_a$	a^*_a	b^*_a	$C^*_{ab,a}$	$h^*_{ab,a}$
OMa	47.94	65.37	50.52	82.62	36
YMa	90.37	-10.27	91.77	92.34	98
LMa	50.9	-62.79	34.95	71.87	151
CMa	58.62	-30.35	-45.01	54.3	236
VMa	25.71	31.11	-44.42	54.24	305
MMa	48.13	75.27	-8.35	75.73	354
N _{Ma}	18.01	0.0	0.0	0.0	0
W _{Ma}	95.41	0.0	0.0	0.0	0
RCIE	39.92	58.66	26.98	64.56	25
JCIE	81.26	-2.17	67.76	67.79	92
GCIE	52.23	-42.26	11.75	43.87	164
BCIE	30.57	1.15	-46.84	46.87	271

%Regularität

$g^*_{H,rel} = 57$

$g^*_{C,rel} = 59$



TG45-7, 5stufige Reihen für konstanten CIELAB Buntton 172/360 = 0.479 (links)

5 stufige Reihen für konstanten CIELAB Buntton 151/360 = 0.419 (rechts)

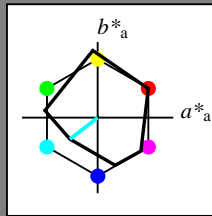
BAM-Prüfvorlage TG45; Farbmetrik-Systeme ORS18 & ORS18 input: $olv^* setrgbcolor$
 D65: 5stufige Farbreihen und Koordinaten-Daten für 10 Bunttöneoutput: Startup (S) data dependent

Eingabe: Farbmetrisches Reflexions-System MRS18

für Buntton $h^* = lab^*h = 218/360 = 0.605$
 lab^*tch und lab^*nch

D65: Buntton G50B
 LCH*Ma: 45 46 218
 rgb*Ma: 0.0 1.0 1.0

Dreiecks-Helligkeit



MRS18; adaptierte CIELAB-Daten

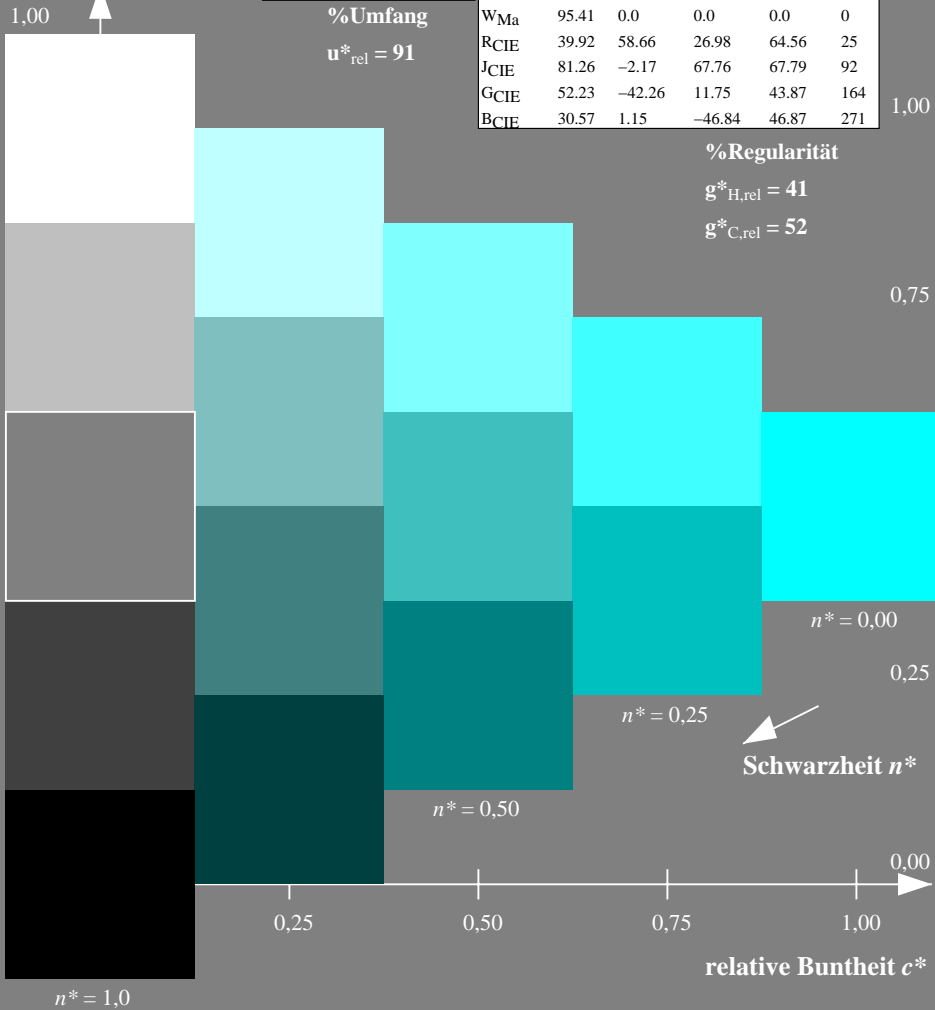
	$L^*=L^*_a$	a^*_a	b^*_a	$C^*_{ab,a}$	$h^*_{ab,a}$
RMa	49.63	66.96	38.37	77.18	30
JMa	90.7	-6.36	88.75	88.98	94
GMa	52.11	-69.73	9.44	70.37	172
G50B _{Ma}	45.03	-36.57	-28.47	46.36	218
B _{Ma}	36.65	23.19	-63.05	67.18	290
B50R _{Ma}	34.94	57.17	-44.26	72.31	322
N _{Ma}	18.01	0.0	0.0	0.0	0
W _{Ma}	95.41	0.0	0.0	0.0	0
RCIE	39.92	58.66	26.98	64.56	25
JCIE	81.26	-2.17	67.76	67.79	92
GCIE	52.23	-42.26	11.75	43.87	164
BCIE	30.57	1.15	-46.84	46.87	271

%Umfang
 $u^*_{rel} = 91$

%Regularität

$g^*_{H,rel} = 41$

$g^*_{C,rel} = 52$

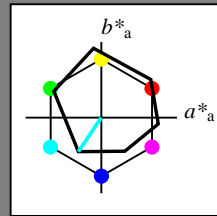


Ausgabe: Farbmetrisches Reflexions-System ORS18

für Buntton $h^* = lab^*h = 236/360 = 0.656$
 lab^*tch und lab^*nch

D65: Buntton C
 LCH*Ma: 59 54 236
 rgb*Ma: 0.0 1.0 1.0

Dreiecks-Helligkeit



ORS18; adaptierte CIELAB-Daten

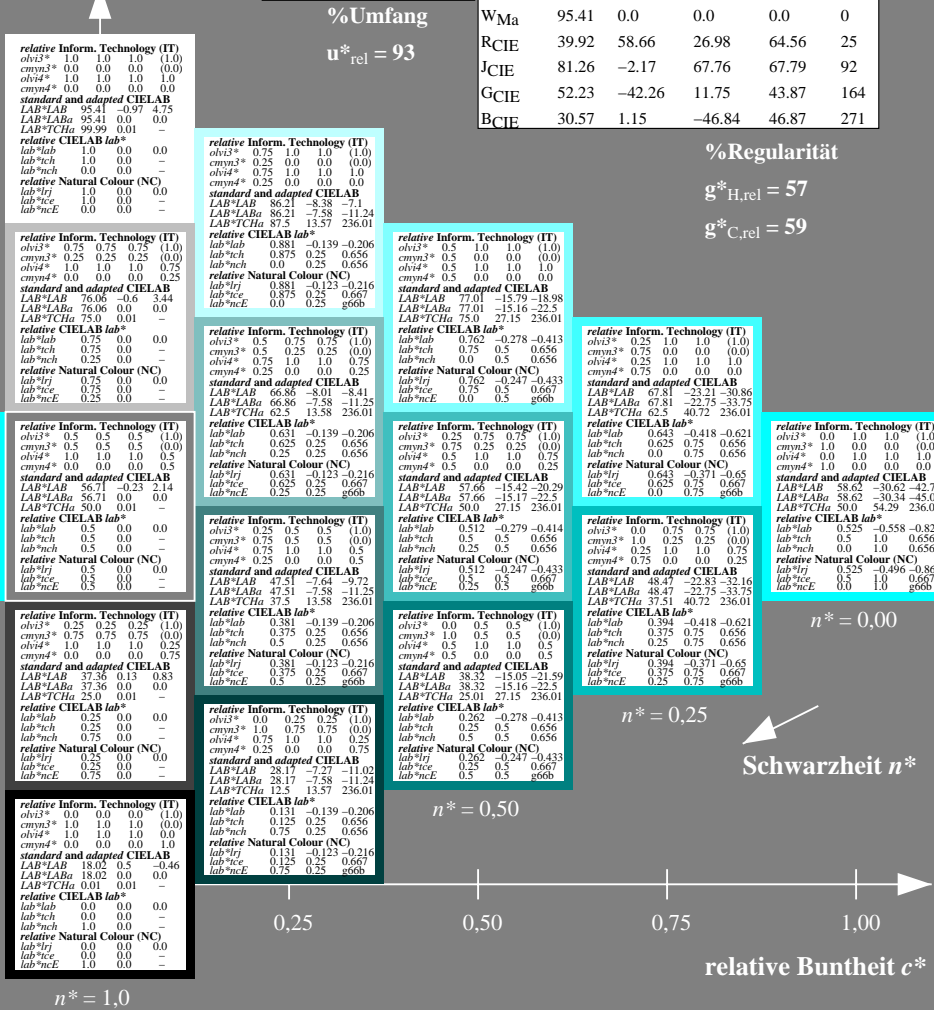
	$L^*=L^*_a$	a^*_a	b^*_a	$C^*_{ab,a}$	$h^*_{ab,a}$
OMa	47.94	65.37	50.52	82.62	38
YMa	90.37	-10.27	91.77	92.34	96
LMa	50.9	-62.79	34.95	71.87	151
CMa	58.62	-30.35	-45.01	54.3	236
V _{Ma}	25.71	31.11	-44.42	54.24	305
M _{Ma}	48.13	75.27	-8.35	75.73	354
N _{Ma}	18.01	0.0	0.0	0.0	0
W _{Ma}	95.41	0.0	0.0	0.0	0
RCIE	39.92	58.66	26.98	64.56	25
JCIE	81.26	-2.17	67.76	67.79	92
GCIE	52.23	-42.26	11.75	43.87	164
BCIE	30.57	1.15	-46.84	46.87	271

%Umfang
 $u^*_{rel} = 93$

%Regularität

$g^*_{H,rel} = 57$

$g^*_{C,rel} = 59$



TG45-7, 5stufige Reihen für konstanten CIELAB Buntton 218/360 = 0.605 (links)

5 stufige Reihen für konstanten CIELAB Buntton 236/360 = 0.656 (rechts)

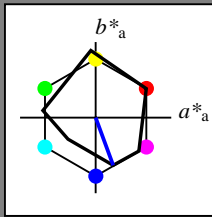
BAM-Prüfvorlage TG45; Farbmetrik-Systeme ORS18 & ORS18 input: $olv^* setrgbcolor$
 D65: 5stufige Farbreihen und Koordinaten-Daten für 10 Bunttöneoutput: *Startup (S) data dependend*

Eingabe: Farbmetrisches Reflexions-System MRS18

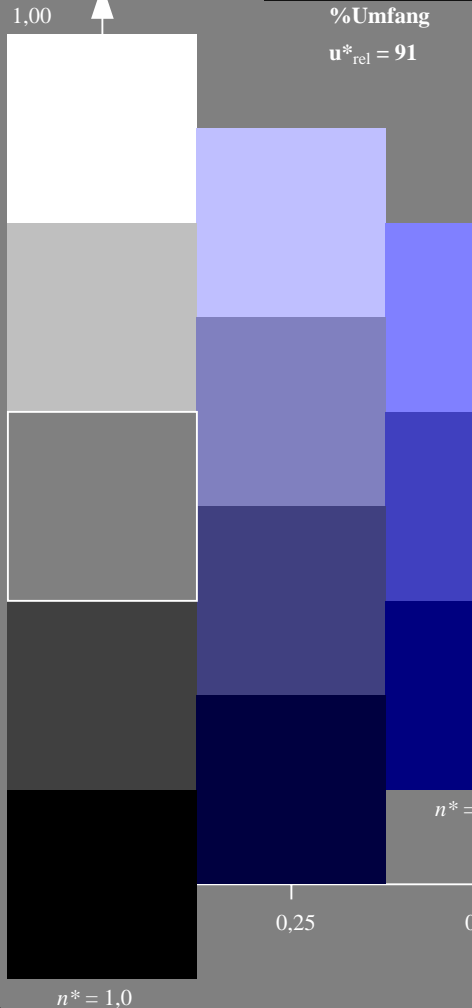
für Buntton $h^* = lab^*h = 290/360 = 0.806$
 lab^*tch und lab^*nch

D65: Buntton B
 LCH*Ma: 37 67 290
 rgb*Ma: 0.0 0.0 1.0

Dreiecks-Helligkeit



%Umfang
 $u^*_{rel} = 91$



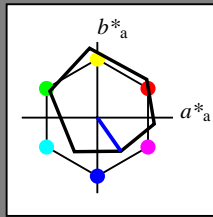
TG45-7, 5stufige Reihen für konstanten CIE LAB Buntton 290/360 = 0.806 (links)

Ausgabe: Farbmetrisches Reflexions-System ORS18

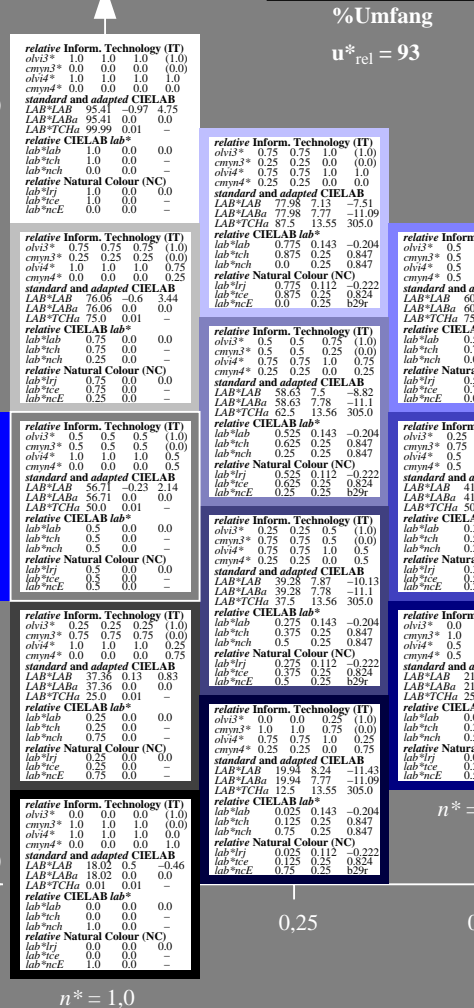
für Buntton $h^* = lab^*h = 305/360 = 0.847$
 lab^*tch und lab^*nch

D65: Buntton V
 LCH*Ma: 26 54 305
 rgb*Ma: 0.0 0.0 1.0

Dreiecks-Helligkeit



%Umfang
 $u^*_{rel} = 93$



5 stufige Reihen für konstanten CIE LAB Buntton 305/360 = 0.847 (rechts)

MRS18; adaptierte CIE LAB-Daten

	$L^*=L^*_a$	a^*_a	b^*_a	$C^*_{ab,a}$	$h^*_{ab,a}$
RMa	49.63	66.96	38.37	77.18	30
JMa	90.7	-6.36	88.75	88.98	94
GMa	52.11	-69.73	9.44	70.37	172
G50B _{Ma}	45.03	-36.57	-28.47	46.36	218
B _{Ma}	36.65	23.19	-63.05	67.18	290
B50R _{Ma}	34.94	57.17	-44.26	72.31	322
N _{Ma}	18.01	0.0	0.0	0.0	0
W _{Ma}	95.41	0.0	0.0	0.0	0
RCIE	39.92	58.66	26.98	64.56	25
JCIE	81.26	-2.17	67.76	67.79	92
GCIE	52.23	-42.26	11.75	43.87	164
BCIE	30.57	1.15	-46.84	46.87	271

%Regularität

$g^*_{H,rel} = 41$

$g^*_{C,rel} = 52$

ORS18; adaptierte CIE LAB-Daten

	$L^*=L^*_a$	a^*_a	b^*_a	$C^*_{ab,a}$	$h^*_{ab,a}$
OMa	47.94	65.37	50.52	82.62	38
YMa	90.37	-10.27	91.77	92.34	96
LMa	50.9	-62.79	34.95	71.87	151
CMa	58.62	-30.35	-45.01	54.3	236
V _{Ma}	25.71	31.11	-44.42	54.24	305
M _{Ma}	48.13	75.27	-8.35	75.73	354
N _{Ma}	18.01	0.0	0.0	0.0	0
W _{Ma}	95.41	0.0	0.0	0.0	0
RCIE	39.92	58.66	26.98	64.56	25
JCIE	81.26	-2.17	67.76	67.79	92
GCIE	52.23	-42.26	11.75	43.87	164
BCIE	30.57	1.15	-46.84	46.87	271

%Regularität

$g^*_{H,rel} = 57$

$g^*_{C,rel} = 59$

Siehe ähnliche Dateien: <http://www.ps.bam.de/TG45/>
 Technische Information: <http://www.ps.bam.de/Version 2.1, io=1,1?>

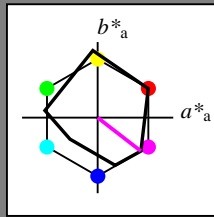
BAM-Registrierung: 20060101-TG45/10Q/Q45G04SP.PS/.PDF BAM-Material: Code=rhakta
 Anwendung für Beurteilung und Messung von Drucker- oder Monitorsystemen

Eingabe: Farbmatisches Reflexions-System MRS18

für Buntton $h^* = lab^*h = 322/360 = 0.895$
 lab^*tch und lab^*nch

D65: Buntton B50R
 LCH*Ma: 35 72 322
 rgb*Ma: 1.0 0.0 1.0

Dreiecks-Helligkeit



MRS18; adaptierte CIELAB-Daten

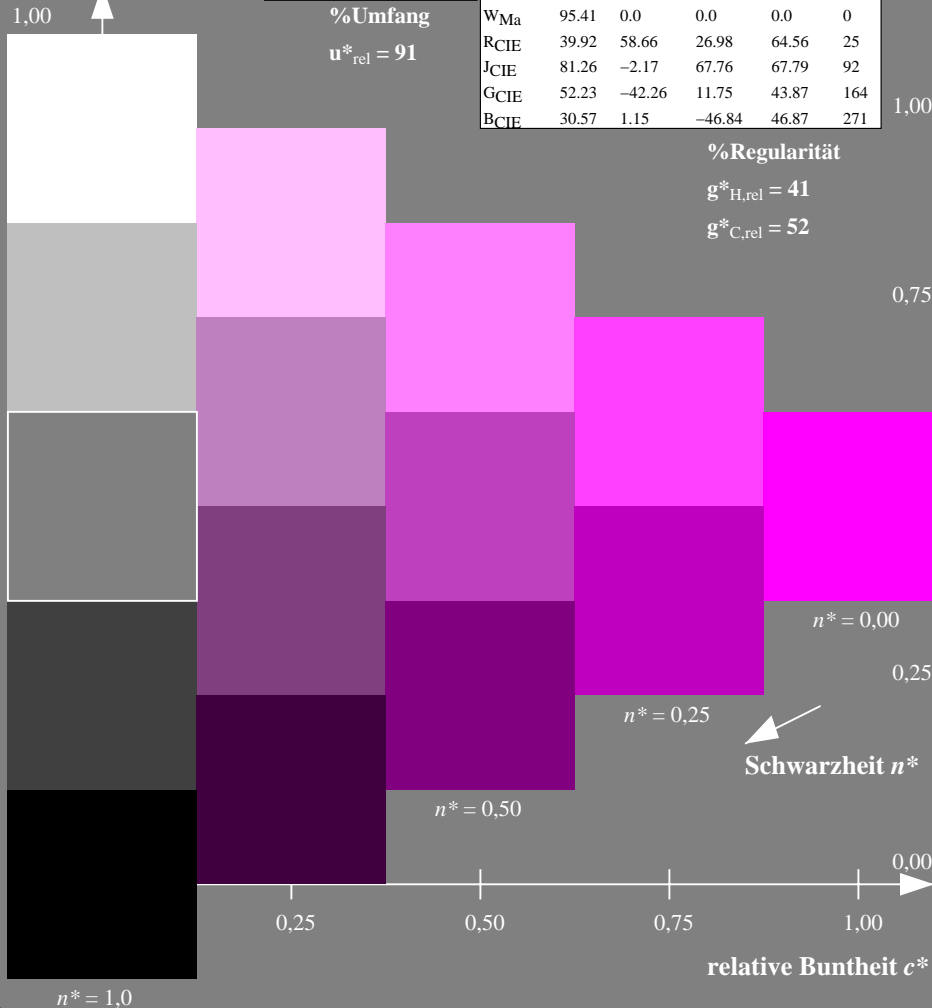
	$L^*=L^*_a$	a^*_a	b^*_a	$C^*_{ab,a}$	$h^*_{ab,a}$
RMa	49.63	66.96	38.37	77.18	30
JMa	90.7	-6.36	88.75	88.98	94
GMa	52.11	-69.73	9.44	70.37	172
G50B _{Ma}	45.03	-36.57	-28.47	46.36	218
B _{Ma}	36.65	23.19	-63.05	67.18	290
B50R _{Ma}	34.94	57.17	-44.26	72.31	322
N _{Ma}	18.01	0.0	0.0	0.0	0
W _{Ma}	95.41	0.0	0.0	0.0	0
RCIE	39.92	58.66	26.98	64.56	25
JCIE	81.26	-2.17	67.76	67.79	92
GCIE	52.23	-42.26	11.75	43.87	164
BCIE	30.57	1.15	-46.84	46.87	271

% Umfang
 $u^*_{rel} = 91$

%Regularität

$g^*_{H,rel} = 41$

$g^*_{C,rel} = 52$

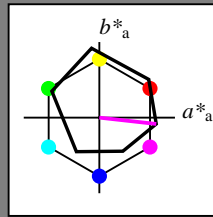


Ausgabe: Farbmatisches Reflexions-System ORS18

für Buntton $h^* = lab^*h = 354/360 = 0.982$
 lab^*tch und lab^*nch

D65: Buntton M
 LCH*Ma: 48 76 354
 rgb*Ma: 1.0 0.0 1.0

Dreiecks-Helligkeit



ORS18; adaptierte CIELAB-Daten

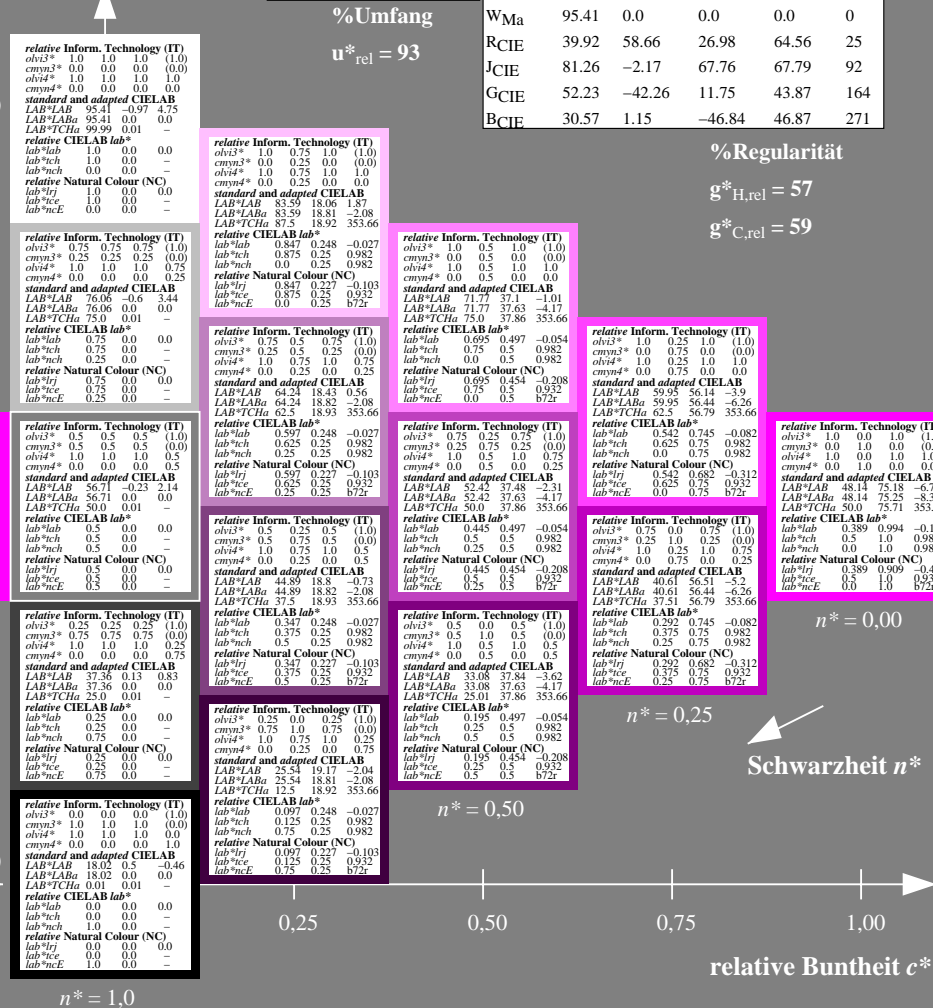
	$L^*=L^*_a$	a^*_a	b^*_a	$C^*_{ab,a}$	$h^*_{ab,a}$
OMa	47.94	65.37	50.52	82.62	38
YMa	90.37	-10.27	91.77	92.34	96
LMa	50.9	-62.79	34.95	71.87	151
CMa	58.62	-30.35	-45.01	54.3	236
VMa	25.71	31.11	-44.42	54.24	305
MMa	48.13	75.27	-8.35	75.73	354
N _{Ma}	18.01	0.0	0.0	0.0	0
W _{Ma}	95.41	0.0	0.0	0.0	0
RCIE	39.92	58.66	26.98	64.56	25
JCIE	81.26	-2.17	67.76	67.79	92
GCIE	52.23	-42.26	11.75	43.87	164
BCIE	30.57	1.15	-46.84	46.87	271

% Umfang
 $u^*_{rel} = 93$

%Regularität

$g^*_{H,rel} = 57$

$g^*_{C,rel} = 59$



TG45-7, 5stufige Reihen für konstanten CIELAB Buntton 322/360 = 0.895 (links)

5 stufige Reihen für konstanten CIELAB Buntton 354/360 = 0.982 (rechts)

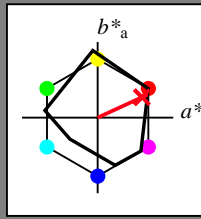
BAM-Prüfvorlage TG45; Farbmeter-Systeme ORS18 & ORS18 input: $olv^* setrgbcolor$
 D65: 5stufige Farbreihen und Koordinaten-Daten für 10 Bunttöneoutput: *Startup (S) data dependend*

Eingabe: Farbmatisches Reflexions-System MRS18

für Buntton $h^* = lab^*h = 25/360 = 0.069$
 lab^*tch und lab^*nch

D65: Buntton R
 LCH*Ma: 48 73 25
 rgb*Ma: 1.0 0.0 0.1

Dreiecks-Helligkeit



MRS18; adaptierte CIELAB-Daten

	$L^*=L^*_a$	a^*_a	b^*_a	$C^*_{ab,a}$	$h^*_{ab,a}$
RMa	49.63	66.96	38.37	77.18	30
JMa	90.7	-6.36	88.75	88.98	94
GMa	52.11	-69.73	9.44	70.37	172
G50BMa	45.03	-36.57	-28.47	46.36	218
BMa	36.65	23.19	-63.05	67.18	290
B50RMa	34.94	57.17	-44.26	72.31	322
NMa	18.01	0.0	0.0	0.0	0
WMa	95.41	0.0	0.0	0.0	0
RCIE	39.92	58.66	26.98	64.56	25
JCIE	81.26	-2.17	67.76	67.79	92
GCIE	52.23	-42.26	11.75	43.87	164
BCIE	30.57	1.15	-46.84	46.87	271

%Regularität

$g^*_{H,rel} = 41$

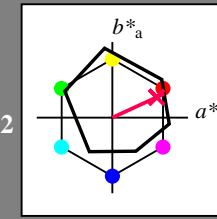
$g^*_{C,rel} = 52$

Ausgabe: Farbmatisches Reflexions-System ORS18

für Buntton $h^* = lab^*h = 25/360 = 0.069$
 lab^*tch und lab^*nch

D65: Buntton R
 LCH*Ma: 48 75 25
 rgb*Ma: 1.0 0.0 0.32

Dreiecks-Helligkeit



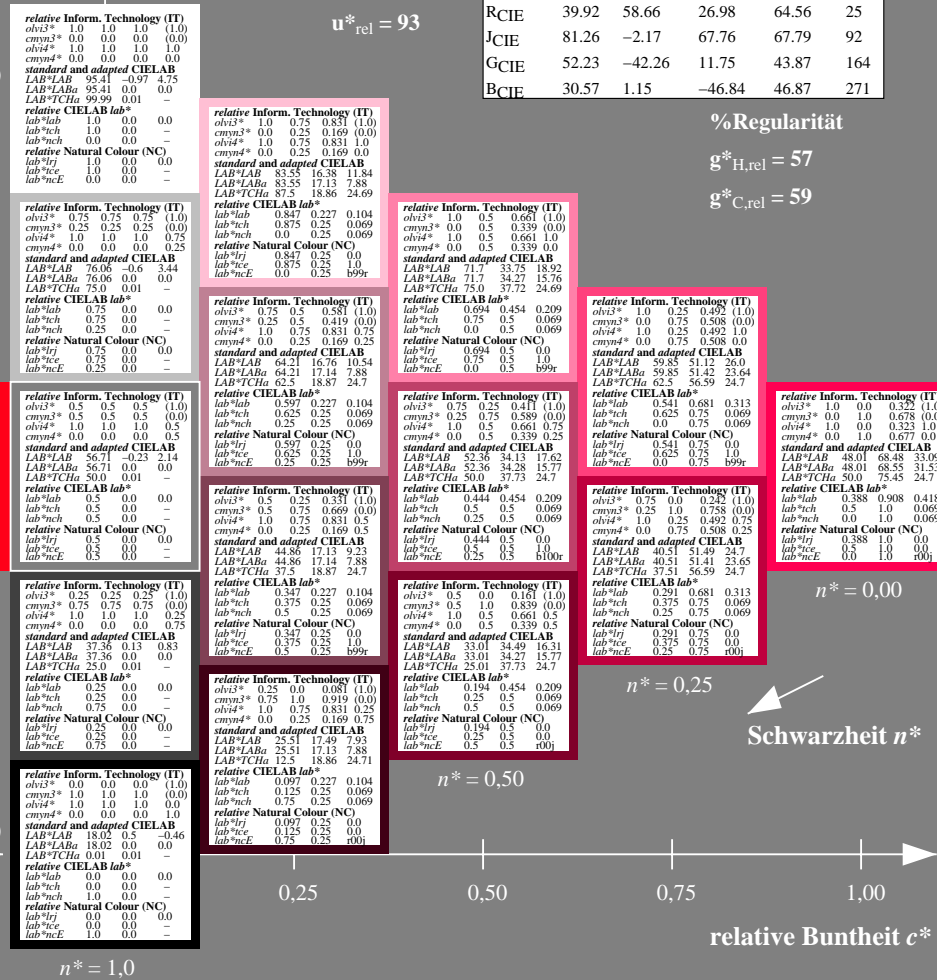
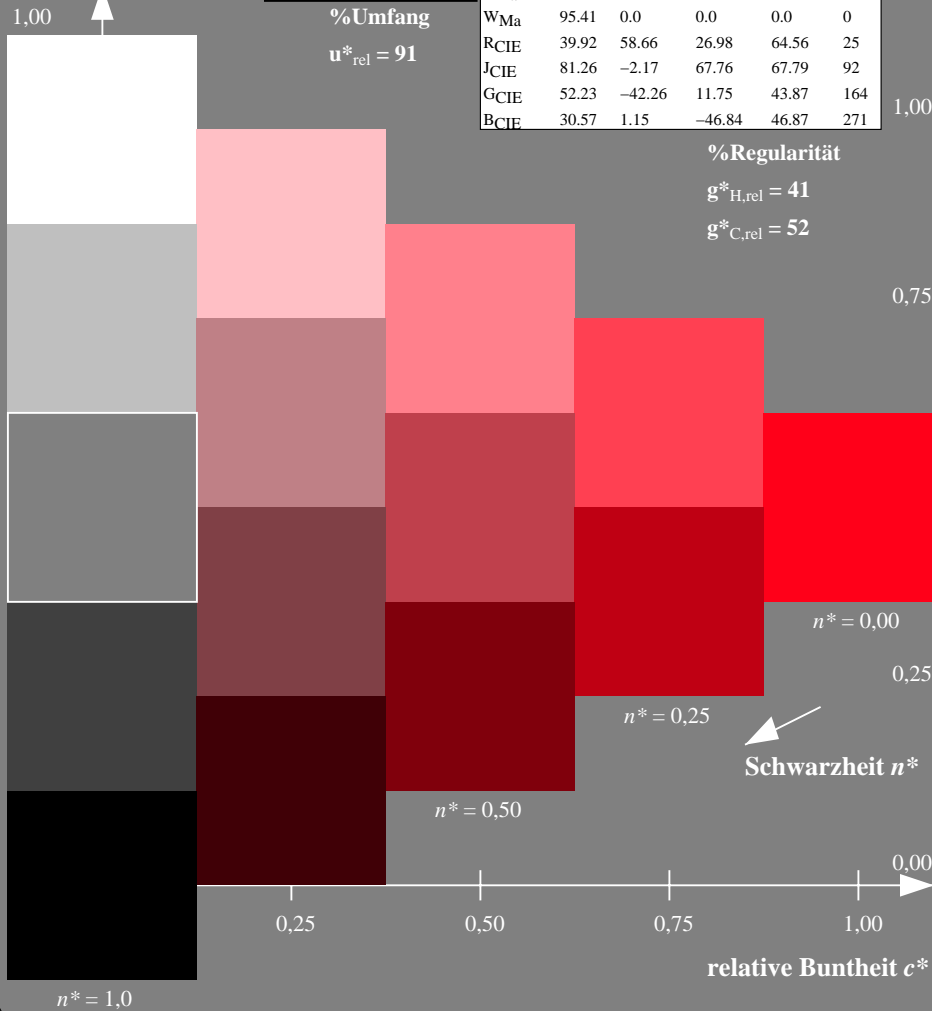
ORS18; adaptierte CIELAB-Daten

	$L^*=L^*_a$	a^*_a	b^*_a	$C^*_{ab,a}$	$h^*_{ab,a}$
OMa	47.94	65.37	50.52	82.62	38
YMa	90.37	-10.27	91.77	92.34	96
LMa	50.9	-62.79	34.95	71.87	151
CMa	58.62	-30.35	-45.01	54.3	236
VMa	25.71	31.11	-44.42	54.24	305
MMa	48.13	75.27	-8.35	75.73	354
NMa	18.01	0.0	0.0	0.0	0
WMa	95.41	0.0	0.0	0.0	0
RCIE	39.92	58.66	26.98	64.56	25
JCIE	81.26	-2.17	67.76	67.79	92
GCIE	52.23	-42.26	11.75	43.87	164
BCIE	30.57	1.15	-46.84	46.87	271

%Regularität

$g^*_{H,rel} = 57$

$g^*_{C,rel} = 59$



TG45-7, 5stufige Reihen für konstanten CIELAB Buntton 25/360 = 0.069 (links)

5 stufige Reihen für konstanten CIELAB Buntton 25/360 = 0.069 (rechts)

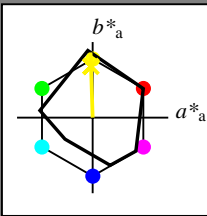
BAM-Prüfvorlage TG45; Farbmatrik-Systeme ORS18 & ORS18 input: $olv^* setrgbcolor$
 D65: 5stufige Farbreihen und Koordinaten-Daten für 10 Bunttöneoutput: *Startup (S) data dependend*

Eingabe: Farbmetrisches Reflexions-System MRS18

für Bunnton $h^* = lab^*h = 92/360 = 0.255$
 lab^*tch und lab^*nch

D65: Bunnton J
 LCH*Ma: 89 86 92
 rgb*Ma: 1.0 0.95 0.0

Dreiecks-Helligkeit



%Umfang
 $u^*_{rel} = 91$

MRS18; adaptierte CIELAB-Daten

	$L^*=L^*_a$	a^*_a	b^*_a	$C^*_{ab,a}$	$h^*_{ab,a}$
RMa	49.63	66.96	38.37	77.18	30
JMa	90.7	-6.36	88.75	88.98	94
GMa	52.11	-69.73	9.44	70.37	172
G50B _{Ma}	45.03	-36.57	-28.47	46.36	218
B _{Ma}	36.65	23.19	-63.05	67.18	290
B50R _{Ma}	34.94	57.17	-44.26	72.31	322
N _{Ma}	18.01	0.0	0.0	0.0	0
W _{Ma}	95.41	0.0	0.0	0.0	0
RCIE	39.92	58.66	26.98	64.56	25
JCIE	81.26	-2.17	67.76	67.79	92
GCIE	52.23	-42.26	11.75	43.87	164
BCIE	30.57	1.15	-46.84	46.87	271

%Regularität

$g^*_{H,rel} = 41$

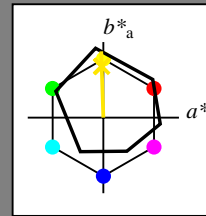
$g^*_{C,rel} = 52$

Ausgabe: Farbmetrisches Reflexions-System ORS18

für Bunnton $h^* = lab^*h = 92/360 = 0.255$
 lab^*tch und lab^*nch

D65: Bunnton J
 LCH*Ma: 86 88 92
 rgb*Ma: 1.0 0.9 0.0

Dreiecks-Helligkeit



%Umfang
 $u^*_{rel} = 93$

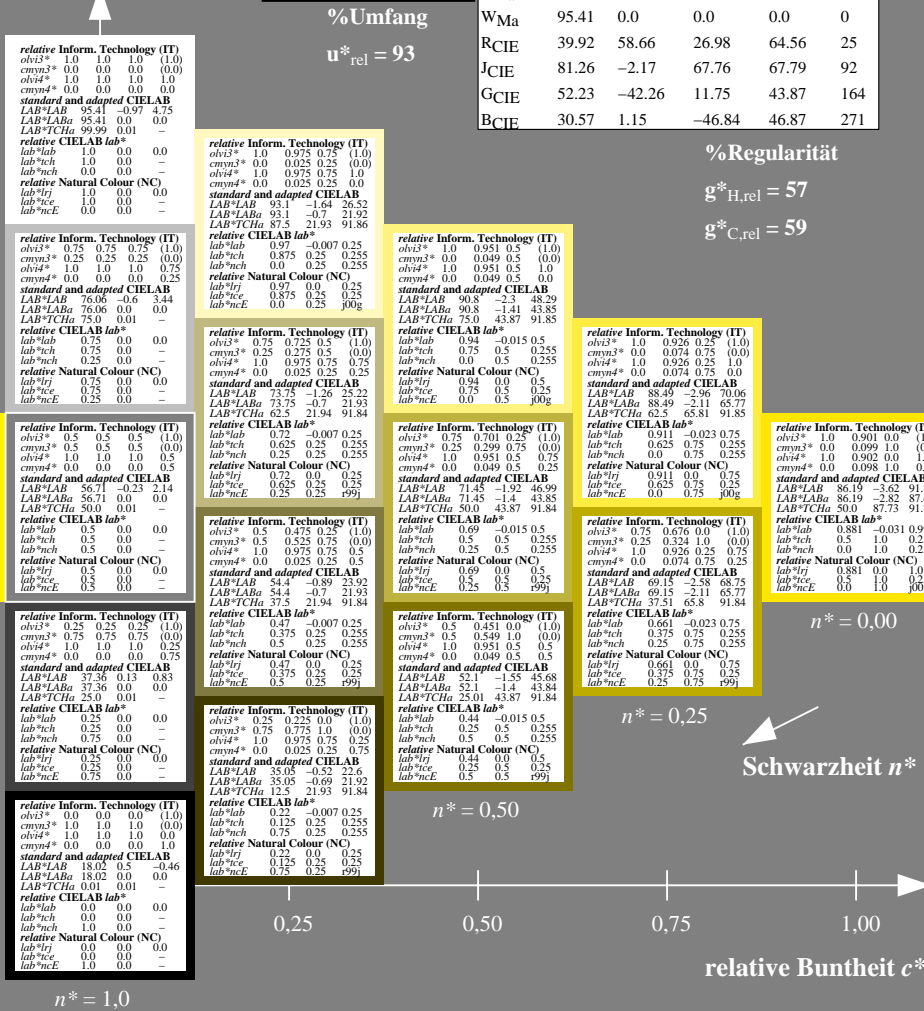
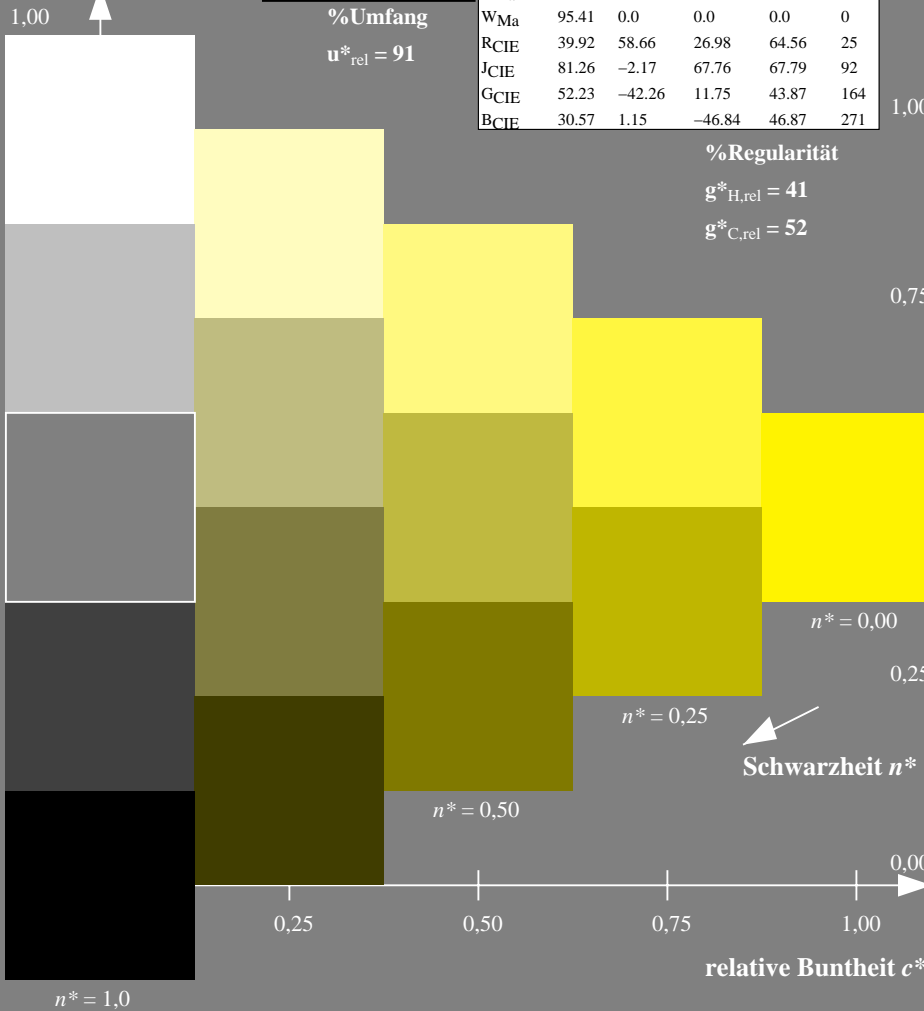
ORS18; adaptierte CIELAB-Daten

	$L^*=L^*_a$	a^*_a	b^*_a	$C^*_{ab,a}$	$h^*_{ab,a}$
OMa	47.94	65.37	50.52	82.62	38
YMa	90.37	-10.27	91.77	92.34	96
LMa	50.9	-62.79	34.95	71.87	151
CMa	58.62	-30.35	-45.01	54.3	236
V _{Ma}	25.71	31.11	-44.42	54.24	305
M _{Ma}	48.13	75.27	-8.35	75.73	354
N _{Ma}	18.01	0.0	0.0	0.0	0
W _{Ma}	95.41	0.0	0.0	0.0	0
RCIE	39.92	58.66	26.98	64.56	25
JCIE	81.26	-2.17	67.76	67.79	92
GCIE	52.23	-42.26	11.75	43.87	164
BCIE	30.57	1.15	-46.84	46.87	271

%Regularität

$g^*_{H,rel} = 57$

$g^*_{C,rel} = 59$



TG45-7, 5stufige Reihen für konstanten CIELAB Bunnton 92/360 = 0.255 (links)

5 stufige Reihen für konstanten CIELAB Bunnton 92/360 = 0.255 (rechts)

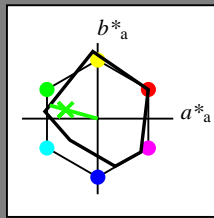
BAM-Prüfvorlage TG45; Farbmetrik-Systeme ORS18 & ORS18 input: $olv^* setrgbcolor$
 D65: 5stufige Farbreihen und Koordinaten-Daten für 10 Bunttöneoutput: *Startup (S) data dependend*

Eingabe: Farbmetrisches Reflexions-System MRS18

für Buntton $h^* = lab^*h = 164/360 = 0.457$
 lab^*tch und lab^*nch

D65: Buntton G
 LCH*Ma: 56 66 164
 rgb*Ma: 0.1 1.0 0.0

Dreiecks-Helligkeit



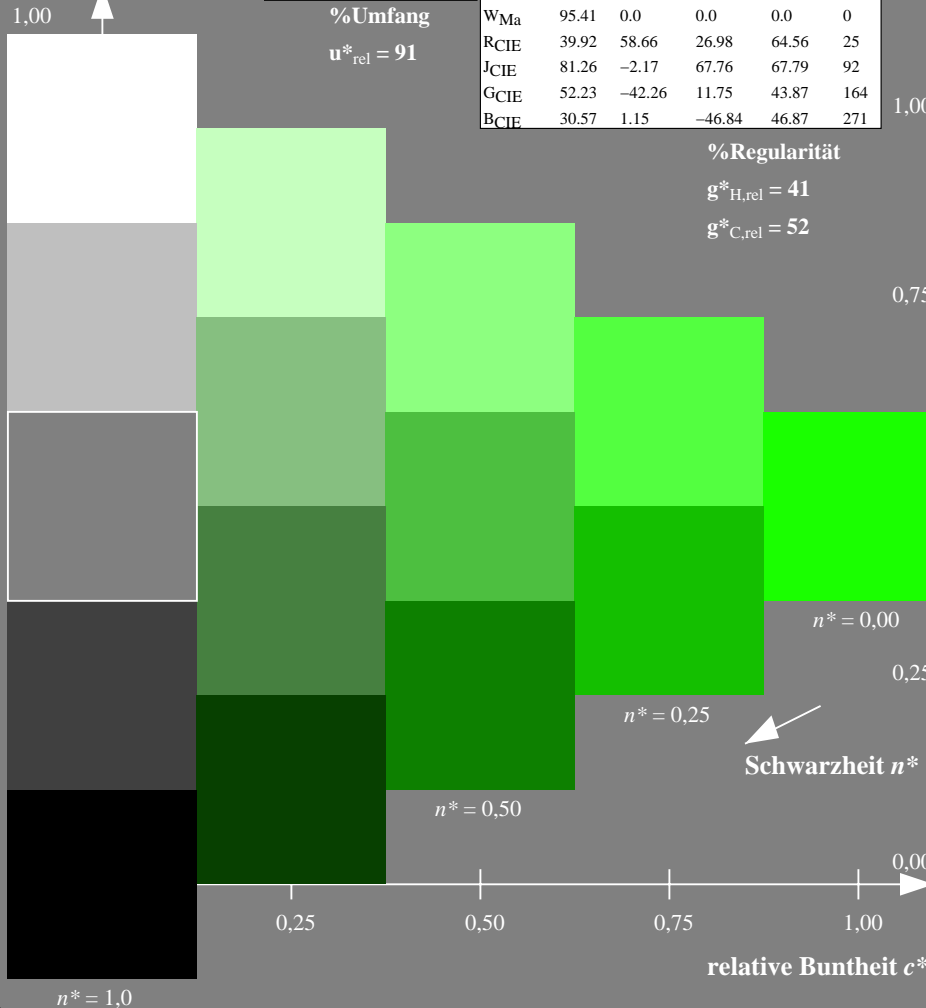
MRS18; adaptierte CIELAB-Daten

	$L^*=L^*_a$	a^*_a	b^*_a	$C^*_{ab,a}$	$h^*_{ab,a}$
RMa	49.63	66.96	38.37	77.18	30
JMa	90.7	-6.36	88.75	88.98	94
GMa	52.11	-69.73	9.44	70.37	172
G50B _{Ma}	45.03	-36.57	-28.47	46.36	218
B _{Ma}	36.65	23.19	-63.05	67.18	290
B50R _{Ma}	34.94	57.17	-44.26	72.31	322
N _{Ma}	18.01	0.0	0.0	0.0	0
W _{Ma}	95.41	0.0	0.0	0.0	0
RCIE	39.92	58.66	26.98	64.56	25
JCIE	81.26	-2.17	67.76	67.79	92
GCIE	52.23	-42.26	11.75	43.87	164
BCIE	30.57	1.15	-46.84	46.87	271

%Regularität

$g^*_{H,rel} = 41$

$g^*_{C,rel} = 52$

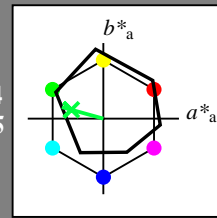


Ausgabe: Farbmetrisches Reflexions-System ORS18

für Buntton $h^* = lab^*h = 164/360 = 0.457$
 lab^*tch und lab^*nch

D65: Buntton G
 LCH*Ma: 53 57 164
 rgb*Ma: 0.0 1.0 0.25

Dreiecks-Helligkeit



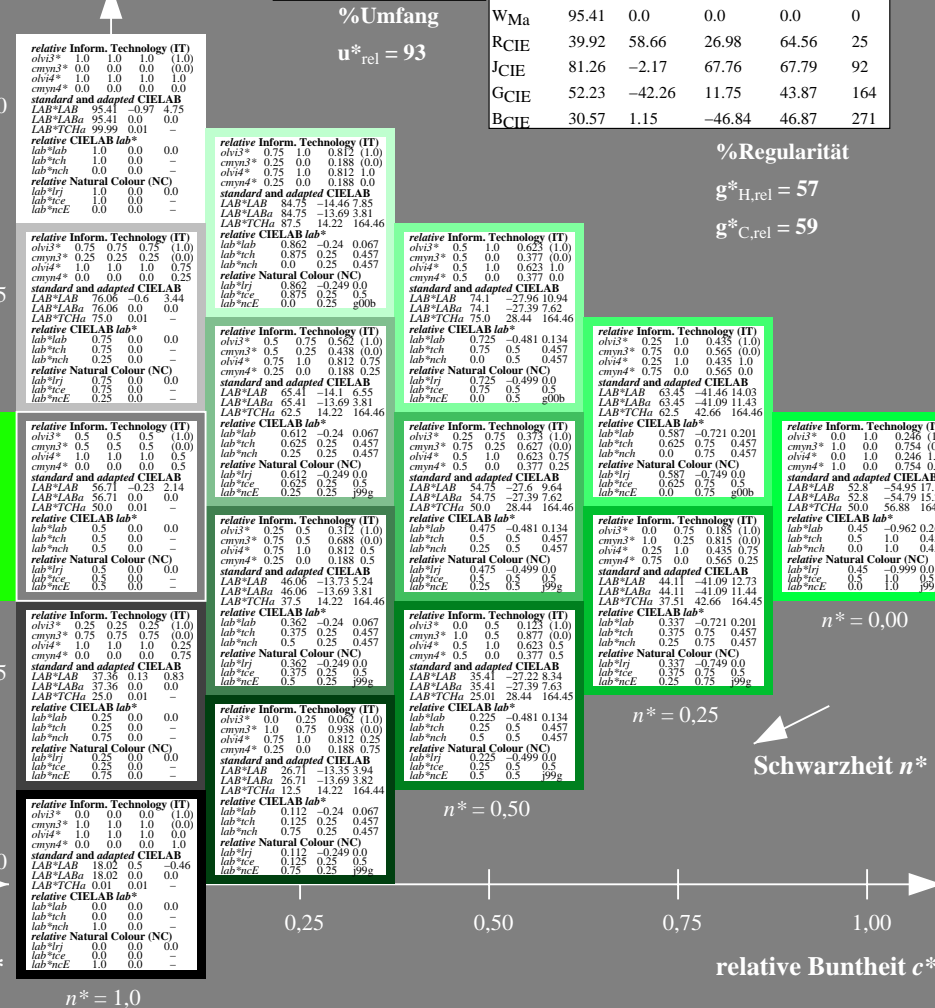
ORS18; adaptierte CIELAB-Daten

	$L^*=L^*_a$	a^*_a	b^*_a	$C^*_{ab,a}$	$h^*_{ab,a}$
OMa	47.94	65.37	50.52	82.62	38
YMa	90.37	-10.27	91.77	92.34	96
LMa	50.9	-62.79	34.95	71.87	151
CMa	58.62	-30.35	-45.01	54.3	236
V _{Ma}	25.71	31.11	-44.42	54.24	305
M _{Ma}	48.13	75.27	-8.35	75.73	354
N _{Ma}	18.01	0.0	0.0	0.0	0
W _{Ma}	95.41	0.0	0.0	0.0	0
RCIE	39.92	58.66	26.98	64.56	25
JCIE	81.26	-2.17	67.76	67.79	92
GCIE	52.23	-42.26	11.75	43.87	164
BCIE	30.57	1.15	-46.84	46.87	271

%Regularität

$g^*_{H,rel} = 57$

$g^*_{C,rel} = 59$



TG45-7, 5stufige Reihen für konstanten CIELAB Buntton 164/360 = 0.457 (links)

5 stufige Reihen für konstanten CIELAB Buntton 164/360 = 0.457 (rechts)

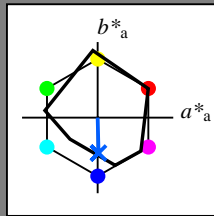
BAM-Prüfvorlage TG45; Farbmetrik-Systeme ORS18 & ORS18 input: $olv^* setrgbcolor$
 D65: 5stufige Farbreihen und Koordinaten-Daten für 10 Bunttöneoutput: *Startup (S) data dependend*

Eingabe: Farbmetrisches Reflexions-System MRS18

für Buntton $h^* = lab^*h = 271/360 = 0.754$
 lab^*tch und lab^*nch

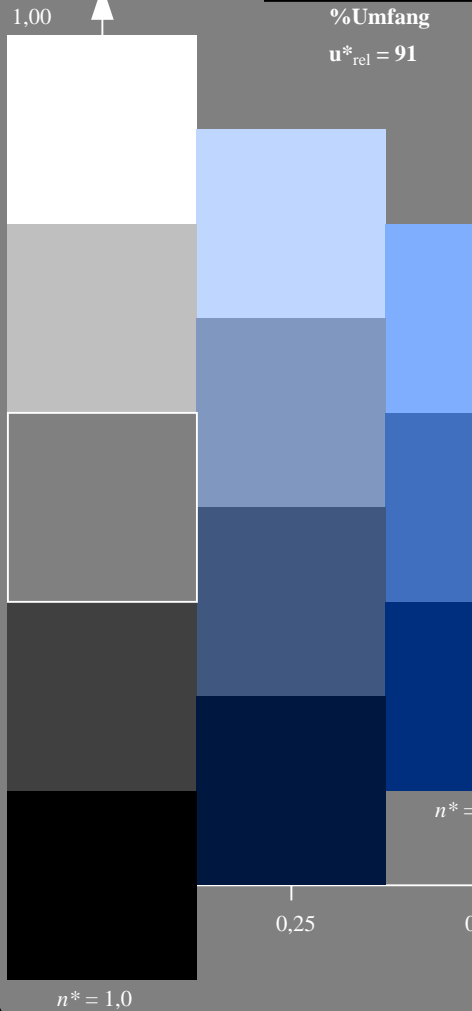
D65: Buntton B
 LCH*Ma: 40 50 271
 rgb*Ma: 0.0 0.37 1.0

Dreiecks-Helligkeit



MRS18; adaptierte CIELAB-Daten

	$L^*=L^*_a$	a^*_a	b^*_a	$C^*_{ab,a}$	$h^*_{ab,a}$
RMa	49.63	66.96	38.37	77.18	30
JMa	90.7	-6.36	88.75	88.98	94
GMa	52.11	-69.73	9.44	70.37	172
G50B _{Ma}	45.03	-36.57	-28.47	46.36	218
B _{Ma}	36.65	23.19	-63.05	67.18	290
B50R _{Ma}	34.94	57.17	-44.26	72.31	322
N _{Ma}	18.01	0.0	0.0	0.0	0
W _{Ma}	95.41	0.0	0.0	0.0	0
RCIE	39.92	58.66	26.98	64.56	25
JCIE	81.26	-2.17	67.76	67.79	92
GCIE	52.23	-42.26	11.75	43.87	164
BCIE	30.57	1.15	-46.84	46.87	271



%Regularität

$g^*_{H,rel} = 41$
 $g^*_{C,rel} = 52$

$u^*_{rel} = 91$

$n^* = 0.00$
 $n^* = 0.25$
 $n^* = 0.50$
 $n^* = 1.0$

relative Inform. Technology (IT)
 $olvi^* = 1.0$ 1.0 1.0 (1.0)
 $cmyn^* = 0.0$ 0.0 0.0 (0.0)
 $olvi^* = 1.0$ 1.0 1.0 1.0
 $cmyn^* = 0.0$ 0.0 0.0 0.0
 standard and adapted CIELAB
 $LAB^*LAB = 95.41$ -0.97 4.75
 $LAB^*LABa = 95.41$ 0.0 0.0
 $LAB^*TCha = 99.99$ 0.01 -

relative CIELAB lab*
 $lab^*lab = 1.0$ 0.0 0.0
 $lab^*nch = 1.0$ 0.0 0.0
 $lab^*tch = 0.0$ 0.0 -

relative Natural Colour (NC)
 $lab^*trj = 1.0$ 0.0 0.0
 $lab^*tce = 1.0$ 0.0 -

relative Inform. Technology (IT)
 $olvi^* = 0.75$ 0.75 0.75 (1.0)
 $cmyn^* = 0.25$ 0.25 0.25 (0.0)
 $olvi^* = 1.0$ 1.0 1.0 1.0
 $cmyn^* = 0.0$ 0.0 0.0 0.0
 standard and adapted CIELAB
 $LAB^*LAB = 76.06$ -0.6 3.44
 $LAB^*LABa = 76.06$ 0.0 0.0
 $LAB^*TCha = 75.0$ 0.01 -

relative CIELAB lab*
 $lab^*lab = 0.75$ 0.0 0.0
 $lab^*nch = 0.75$ 0.0 -

relative Natural Colour (NC)
 $lab^*trj = 0.75$ 0.0 0.0
 $lab^*tce = 0.75$ 0.0 -

relative Inform. Technology (IT)
 $olvi^* = 0.5$ 0.5 0.5 (0.0)
 $cmyn^* = 0.5$ 0.5 0.5 (0.0)
 $olvi^* = 1.0$ 1.0 1.0 0.5
 $cmyn^* = 0.0$ 0.0 0.0 0.5
 standard and adapted CIELAB
 $LAB^*LAB = 56.71$ 0.23 2.14
 $LAB^*LABa = 56.71$ 0.0 0.0
 $LAB^*TCha = 50.0$ 0.01 -

relative CIELAB lab*
 $lab^*lab = 0.5$ 0.0 0.0
 $lab^*nch = 0.5$ 0.0 -

relative Natural Colour (NC)
 $lab^*trj = 0.5$ 0.0 0.0
 $lab^*tce = 0.5$ 0.0 -

relative Inform. Technology (IT)
 $olvi^* = 0.25$ 0.25 0.25 (1.0)
 $cmyn^* = 0.75$ 0.75 0.75 (0.0)
 $olvi^* = 1.0$ 1.0 1.0 0.5
 $cmyn^* = 0.0$ 0.0 0.0 0.5
 standard and adapted CIELAB
 $LAB^*LAB = 37.36$ 0.13 0.83
 $LAB^*LABa = 37.36$ 0.0 0.0
 $LAB^*TCha = 25.0$ 0.01 -

relative CIELAB lab*
 $lab^*lab = 0.25$ 0.0 0.0
 $lab^*nch = 0.25$ 0.0 -

relative Natural Colour (NC)
 $lab^*trj = 0.25$ 0.0 0.0
 $lab^*tce = 0.25$ 0.0 -

relative Inform. Technology (IT)
 $olvi^* = 0.0$ 0.0 0.0 (1.0)
 $cmyn^* = 1.0$ 1.0 1.0 (0.0)
 $olvi^* = 1.0$ 1.0 1.0 1.0
 $cmyn^* = 0.0$ 0.0 0.0 1.0
 standard and adapted CIELAB
 $LAB^*LAB = 18.02$ 0.5 -0.46
 $LAB^*LABa = 18.02$ 0.0 0.0
 $LAB^*TCha = 0.01$ 0.01 -

relative CIELAB lab*
 $lab^*lab = 0.0$ 0.0 0.0
 $lab^*nch = 0.0$ 0.0 0.0
 $lab^*tch = 1.0$ 0.0 -

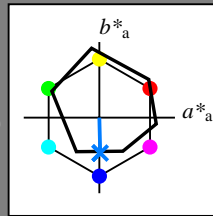
relative Natural Colour (NC)
 $lab^*trj = 0.0$ 0.0 0.0
 $lab^*tce = 0.0$ 0.0 -

Ausgabe: Farbmetrisches Reflexions-System ORS18

für Buntton $h^* = lab^*h = 271/360 = 0.754$
 lab^*tch und lab^*nch

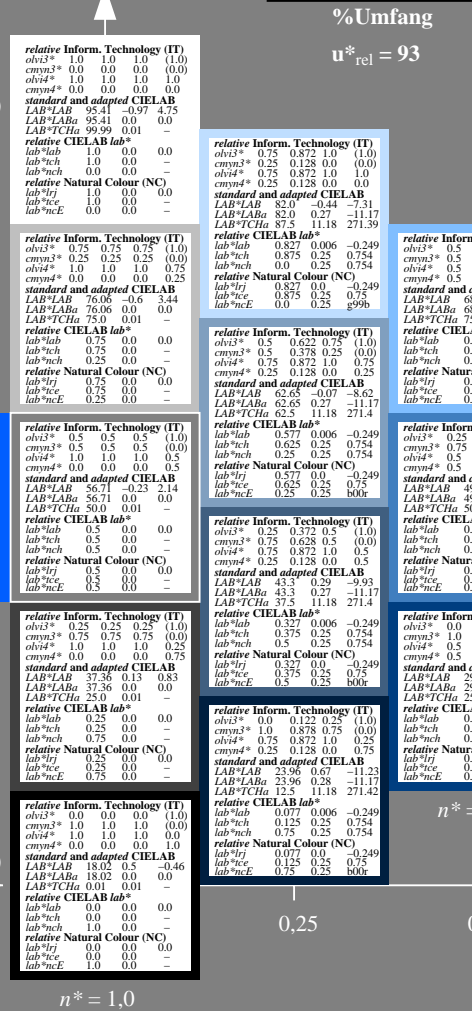
D65: Buntton B
 LCH*Ma: 42 45 271
 rgb*Ma: 0.0 0.49 1.0

Dreiecks-Helligkeit



ORS18; adaptierte CIELAB-Daten

	$L^*=L^*_a$	a^*_a	b^*_a	$C^*_{ab,a}$	$h^*_{ab,a}$
OMa	47.94	65.37	50.52	82.62	38
YMa	90.37	-10.27	91.77	92.34	96
LMa	50.9	-62.79	34.95	71.87	151
CMa	58.62	-30.35	-45.01	54.3	236
VMa	25.71	31.11	-44.42	54.24	305
MMa	48.13	75.27	-8.35	75.73	354
N _{Ma}	18.01	0.0	0.0	0.0	0
W _{Ma}	95.41	0.0	0.0	0.0	0
RCIE	39.92	58.66	26.98	64.56	25
JCIE	81.26	-2.17	67.76	67.79	92
GCIE	52.23	-42.26	11.75	43.87	164
BCIE	30.57	1.15	-46.84	46.87	271



%Regularität

$g^*_{H,rel} = 57$
 $g^*_{C,rel} = 59$

$u^*_{rel} = 93$

$n^* = 0.00$
 $n^* = 0.25$
 $n^* = 0.50$
 $n^* = 1.0$

relative Inform. Technology (IT)
 $olvi^* = 1.0$ 1.0 1.0 (1.0)
 $cmyn^* = 0.25$ 0.25 0.25 (0.0)
 $olvi^* = 1.0$ 1.0 1.0 1.0
 $cmyn^* = 0.0$ 0.0 0.0 0.0
 standard and adapted CIELAB
 $LAB^*LAB = 95.41$ -0.97 4.75
 $LAB^*LABa = 95.41$ 0.0 0.0
 $LAB^*TCha = 99.99$ 0.01 -

relative CIELAB lab*
 $lab^*lab = 1.0$ 0.0 0.0
 $lab^*nch = 1.0$ 0.0 0.0
 $lab^*tch = 0.0$ 0.0 -

relative Natural Colour (NC)
 $lab^*trj = 1.0$ 0.0 0.0
 $lab^*tce = 1.0$ 0.0 -

relative Inform. Technology (IT)
 $olvi^* = 0.75$ 0.75 0.75 (1.0)
 $cmyn^* = 0.25$ 0.25 0.25 (0.0)
 $olvi^* = 1.0$ 1.0 1.0 0.5
 $cmyn^* = 0.0$ 0.0 0.0 0.5
 standard and adapted CIELAB
 $LAB^*LAB = 82.0$ -0.44 -7.31
 $LAB^*LABa = 82.0$ 0.27 -11.17
 $LAB^*TCha = 87.5$ 11.18 271.39

relative CIELAB lab*
 $lab^*lab = 0.75$ 0.006 -0.249
 $lab^*nch = 0.75$ 0.25 0.754
 $lab^*tch = 0.0$ 0.25 0.754
 $lab^*trj = 0.0$ 0.25 0.754
 $lab^*tce = 0.0$ 0.25 0.754

relative Natural Colour (NC)
 $lab^*trj = 0.75$ 0.0 -0.249
 $lab^*tce = 0.75$ 0.25 0.754
 $lab^*nch = 0.0$ 0.25 0.754

relative Inform. Technology (IT)
 $olvi^* = 0.5$ 0.5 0.5 (1.0)
 $cmyn^* = 0.5$ 0.5 0.5 (0.0)
 $olvi^* = 1.0$ 1.0 1.0 0.5
 $cmyn^* = 0.0$ 0.0 0.0 0.5
 standard and adapted CIELAB
 $LAB^*LAB = 62.65$ -0.07 -8.62
 $LAB^*LABa = 62.65$ 0.27 -11.17
 $LAB^*TCha = 62.5$ 11.18 271.4

relative CIELAB lab*
 $lab^*lab = 0.5$ 0.622 0.75 (1.0)
 $lab^*nch = 0.5$ 0.578 0.25 (0.0)
 $lab^*tch = 0.75$ 0.0 0.754
 $lab^*trj = 0.5$ 0.0 0.754
 $lab^*tce = 0.5$ 0.25 0.754

relative Natural Colour (NC)
 $lab^*trj = 0.5$ 0.0 -0.249
 $lab^*tce = 0.5$ 0.25 0.754
 $lab^*nch = 0.0$ 0.25 0.754

relative Inform. Technology (IT)
 $olvi^* = 0.25$ 0.25 0.25 (1.0)
 $cmyn^* = 0.75$ 0.75 0.75 (0.0)
 $olvi^* = 1.0$ 1.0 1.0 0.5
 $cmyn^* = 0.0$ 0.0 0.0 0.5
 standard and adapted CIELAB
 $LAB^*LAB = 49.25$ 0.45 -20.71
 $LAB^*LABa = 49.25$ 0.55 -22.35
 $LAB^*TCha = 50.0$ 22.37 271.4

relative CIELAB lab*
 $lab^*lab = 0.25$ 0.012 -0.499
 $lab^*nch = 0.25$ 0.5 0.754
 $lab^*tch = 0.0$ 0.5 0.754
 $lab^*trj = 0.25$ 0.0 0.754
 $lab^*tce = 0.25$ 0.25 0.754

relative Natural Colour (NC)
 $lab^*trj = 0.25$ 0.0 -0.499
 $lab^*tce = 0.25$ 0.25 0.754
 $lab^*nch = 0.0$ 0.25 0.754

relative Inform. Technology (IT)
 $olvi^* = 0.0$ 0.0 0.0 (1.0)
 $cmyn^* = 1.0$ 1.0 1.0 (0.0)
 $olvi^* = 1.0$ 1.0 1.0 1.0
 $cmyn^* = 0.0$ 0.0 0.0 1.0
 standard and adapted CIELAB
 $LAB^*LAB = 18.02$ 0.5 -0.46
 $LAB^*LABa = 18.02$ 0.0 0.0
 $LAB^*TCha = 0.01$ 0.01 -

relative CIELAB lab*
 $lab^*lab = 0.0$ 0.0 0.0
 $lab^*nch = 0.0$ 0.0 0.0
 $lab^*tch = 1.0$ 0.0 -

relative Natural Colour (NC)
 $lab^*trj = 0.0$ 0.0 0.0
 $lab^*tce = 0.0$ 0.0 -

TG45-7, 5stufige Reihen für konstanten CIELAB Buntton 271/360 = 0.754 (links)

5 stufige Reihen für konstanten CIELAB Buntton 271/360 = 0.754 (rechts)

BAM-Prüfvorlage TG45; Farbmetrik-Systeme ORS18 & ORS18 input: $olv^* setrgbcolor$
 D65: 5stufige Farbreihen und Koordinaten-Daten für 10 Bunttöneoutput: Startup (S) data dependend

BAM-Registrierung: 20060101-TG45/10Q/Q45G09SP.PS/.PDF BAM-Material: Code=thakta
 Anwendung für Beurteilung und Messung von Drucker- oder Monitorsystemen
 Form 10/10/Seite: 1/1, Seite: 10
 Scherz hung 10